

全品



教辅图书



功能学具



学生之家

基础教育行业专研品牌

30⁺年创始人专注教育行业

AI
智慧
教辅

特色专项

特训 加练

地理

本书为AI智慧教辅

“讲题智能体”支持学生聊着学，扫码后哪题不会选哪题；随时随地想聊就聊，想问就问。



CONTENTS 目录

特训加练

每日练 快速练 循环练 拆分练 组合练 精准练

特训 1	时间计算与日出日落；昼夜长短的变化；大气受热过程	专 01 / 答 61
特训 2	海陆风；锋面天气系统；气压带和风带	专 02 / 答 61
特训 3	水循环；洋流；①天气系统	专 03 / 答 61
特训 4	流水作用；地质构造；地形对聚落的影响	专 04 / 答 62
特训 5	植被；要素间的相互关系；垂直地域差异	专 05 / 答 62
特训 6	滑坡灾害及预防；人口问题；②海水运动	专 06 / 答 62
特训 7	城乡空间结构；农业区位因素；工业区位因素	专 07 / 答 62
特训 8	服务业区位因素；交通运输区位因素；可持续发展	专 08 / 答 63
特训 9	区域差异；湿地功能及开发、保护；③内力作用对地表形态的影响	专 09 / 答 63
特训 10	区域产业结构优化；城市群的发展；流域的治理措施	专 10 / 答 64
特训 11	产业转移；我国耕地资源开发利用现状；能源安全	专 11 / 答 64
特训 12	全球气候变化；新情境试题；④整体性	专 12 / 答 64
特训 13	太阳视运动、日影方向与长度变化；正午太阳高度变化；海气相互作用	专 13 / 答 64
特训 14	水平气压梯度力与风的形成；气旋、反气旋天气系统；气压带、风带与气候	专 14 / 答 65
特训 15	陆地水体间的补给关系；海水性质；⑤农业区位与农业生产	专 15 / 答 65
特训 16	海岸地貌；板块构造；矿物与三大类岩石	专 16 / 答 65
特训 17	土壤；整体性的主要表现；地方性分异规律	专 17 / 答 66
特训 18	地震与断层、断层地貌；人口流动；⑥工业区位与工业发展	专 18 / 答 66
特训 19	城镇化；农业区位的变化；工业区位的变化	专 19 / 答 66
特训 20	服务业区位的变化；交通运输对区域发展的影响；大气污染	专 20 / 答 66
特训 21	区域发展与因地制宜；自然保护区；⑦服务业	专 21 / 答 67
特训 22	资源枯竭型城市转型；都市圈；流域概况与综合整治	专 22 / 答 67
特训 23	资源调配；矿产安全；海洋空间开发	专 23 / 答 67
特训 24	污染物跨境转移；新考法试题；⑧区域发展与合作	专 24 / 答 68
特训 25	时间计算；昼夜长短的变化；大气受热过程	专 25 / 答 68
特训 26	热力环流；锋面天气系统；不同时空背景下风与风向判断	专 26 / 答 68
特训 27	水循环；洋流；⑨稀土资源问题	专 27 / 答 68

特训 28	外力作用、风沙地貌；地质剖面图；地形对聚落的影响	专 28 / 答 69
特训 29	植被的演替；自然环境的差异性与自然带；陆地地域分异规律	专 29 / 答 69
特训 30	人口分布；⑩生态环境安全	专 30 / 答 69
特训 31	地域文化与城乡景观；农业区域发展；工业区域发展	专 31 / 答 70
特训 32	城市货运站；区域交通运输的发展；可持续发展的途径	专 32 / 答 70
特训 33	生态脆弱区；⑪大气环流及影响	专 33 / 答 70
特训 34	产业结构变化；城市辐射功能；流域协调发展	专 34 / 答 71
特训 35	产业转移的区位及影响；粮食安全的途径；资源安全问题	专 35 / 答 71
特训 36	碳汇；⑫水循环	专 36 / 答 71
特训 37	太阳视运动；正午太阳高度变化；海水性质、海—气热量交换	专 37 / 答 75
特训 38	风向的判断；气旋、反气旋天气系统；气候与农业发展	专 38 / 答 75
特训 39	陆地水体补给关系、水量平衡；海水盐度及影响；⑬外力作用对地表形态的影响	专 39 / 答 75
特训 40	河流地貌；板块运动；岩石圈物质循环	专 40 / 答 73
特训 41	土壤；整体性的表现；垂直地域分异	专 41 / 答 73
特训 42	人口迁移；⑭自然环境的差异性	专 42 / 答 73
特训 43	城市发展；农业区域发展；工业区位	专 43 / 答 73
特训 44	服务业区位因素；交通运输的特点与合理选择；可持续发展	专 44 / 答 74
特训 45	区域特征与区域发展；自然保护区；⑮粮食安全	专 45 / 答 74
特训 46	产业结构变化；大城市对周边城市的辐射功能；长江流域的协调发展	专 46 / 答 74
特训 47	能源调配；矿产安全；海洋空间开发与国土安全	专 47 / 答 75
特训 48	新考法试题；⑯区域产业转型与升级	专 48 / 答 75
特训 49	时间计算与太阳视运动；昼夜长短变化；大气受热过程与海气相互作用	专 49 / 答 75
特训 50	海陆风；露点锋（干线）；气压带风带与气候、区域发展与区域差异	专 50 / 答 76
特训 51	植被对水循环的影响；海水性质与运动；⑰城镇与交通运输	专 51 / 答 76
特训 52	外力作用；地质剖面图；地形对人类活动的影响	专 52 / 答 76
特训 53	植被；要素之间的影响；地方性分异规律	专 53 / 答 76
特训 54	自然灾害的防御；⑱区域差异与区域联系	专 54 / 答 77
特训 55	城乡空间结构的合理规划；农业区位因素；区域工业发展	专 55 / 答 77
特训 56	服务业区位及影响；交通运输点的区位；生态环境问题	专 56 / 答 77
特训 57	区域特征与区域发展；⑲资源安全问题	专 57 / 答 78
特训 58	资源枯竭型城市的转型；大城市对周边的辐射作用；流域的协调发展	专 58 / 答 78
特训 59	产业转移类型及影响因素；粮食安全；能源安全	专 59 / 答 78
特训 60	新情境试题；⑳生态问题与国家安全	专 60 / 答 78

特训1

(用时____分钟, 得分____)

时间计算与日出日落; 昼夜长短的变化; 大气受热过程

选择题每个3分, 共21分。四个选项中只有一个选项是正确的。总分21分。

[2025·福建厦门三模] 逆光是指拍照时取景方向迎着太阳光线的现象, 会造成图片亮度低的问题。小林五一期间去黄山(30°N, 118°E)旅行摄影。完成1~2题。

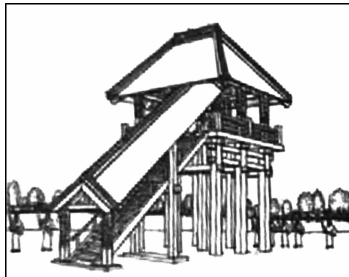
1. 11时拍摄迎客松时, 逆光问题严重。推测小林此时最可能在迎客松的 ()

- A. 东南方向 B. 西北方向
C. 东北方向 D. 西南方向

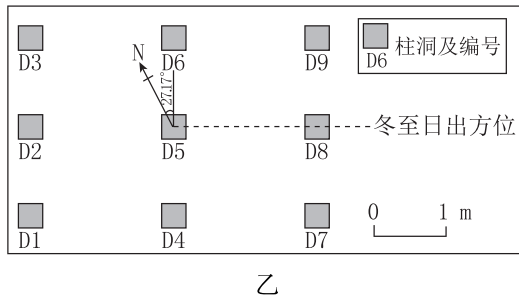
2. 旅行期间某日小林在黄山拍摄到日出的时间为5:28。当天, 在峨眉山(29°43'N, 103°E)旅游的小林哥哥在同海拔位置拍摄到日出地方时约为 ()

- A. 5:20 B. 5:28 C. 4:20 D. 4:28

[2024·广东卷] 距今约3000年前的金沙遗址(30°41'N, 104°01'E)是古蜀国时期的一处大型聚落遗址。在该遗址祭祀区的东部, 有一处九柱建筑基址, 其9个柱洞呈“田”字形分布。研究发现, 这些柱洞分布具有一定的天文属性。图甲为九柱建筑的复原示意图, 图乙示意该建筑柱洞平面分布及当时冬至日的日出方位。据此完成3~4题。



甲



乙

3. 如果当时祭祀人员站在图乙中的D5处, 他在夏至日看到的日出方位位于 ()

- A. D5→D6连线方向 B. D6和D9之间
C. D5→D9连线方向 D. D8和D9之间

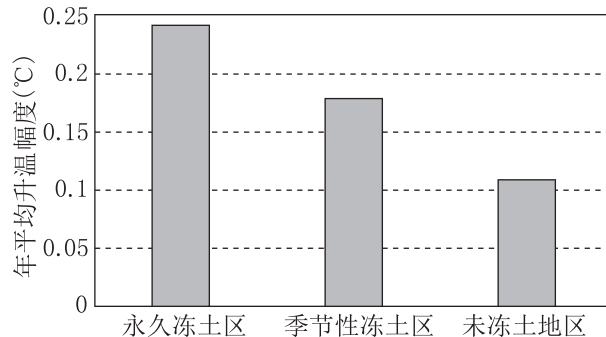
4. 已知3000年前的黄赤交角比现今大, 与现在遗址地居民相比, 则当时金沙先民在 ()

- A. 春分日看到日出时间更早

- B. 夏至日经历更长的夜长
C. 秋分日看到日落时间更晚
D. 冬至日经历更短的昼长

[2025·湖南长沙一模] 研究揭示, 2000—2019年青藏高原植被覆盖面积显著增加。遥感数据分析显示, 青藏高原生长季节叶面积指数(单位土地面积上植物叶片总面积与土地面积的比值)显著增加。下表和下图分别为2000—2019年青藏高原不同季节浅层土壤的年平均升温和不同类型冻土区的年平均升温度数。完成5~7题。

季节	浅层土壤年平均升温和幅度(℃)
春季	0.26
夏季	-0.1
秋季	0.25
冬季	0.29



5. 青藏高原2000—2019年浅层土壤温度变化的主要原因是 ()

- A. 太阳辐射增强 B. 地面反射率降低
C. 地面辐射减弱 D. 大气逆辐射增强

6. 2000—2019年青藏高原不同季节浅层土壤温度变化对当地生态系统的影响是 ()

- A. 春季升温使草原返青期推迟
B. 夏季降温使高山草甸生物量减少
C. 秋季升温使河谷地区农作物成熟延迟
D. 冬季升温使冻土区微生物活动增强

7. 若青藏高原植被覆盖面积持续增加, 可能导致 ()

- A. 永久冻土区面积扩大
B. 季节性冻土区的地表温度变化趋于平缓
C. 未冻土区土壤水分减少
D. 区域小气候趋于干旱

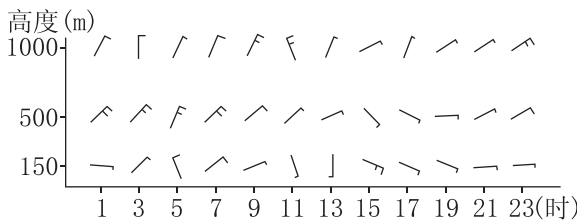
特训2

(用时____分钟, 得分____)

海陆风; 锋面天气系统; 气压带和风带

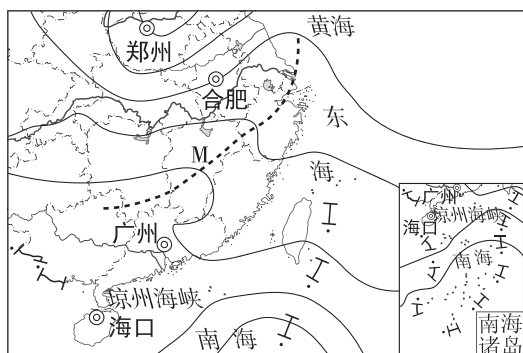
选择题每个3分, 共27分。四个选项中只有一个选项是正确的。总分27分。

[经典真题·全国乙卷] 我国一海滨城市背靠丘陵, 某日海陆风明显。下图示意当日该市不同高度的风随时间的变化。据此完成1~3题。



1. 当日在观测场释放一只氦气球, 观测它在1千米高度以下先向北飘, 然后逐渐转向西南。释放气球的时间可能为 ()
A. 1时 B. 7时
C. 13时 D. 19时
2. 据图推测, 陆地大致位于海洋的 ()
A. 东北方 B. 东南方
C. 西南方 D. 西北方
3. 当日该市所处的气压场的特点是 ()
A. 北高南低, 梯度大
B. 北高南低, 梯度小
C. 南高北低, 梯度大
D. 南高北低, 梯度小

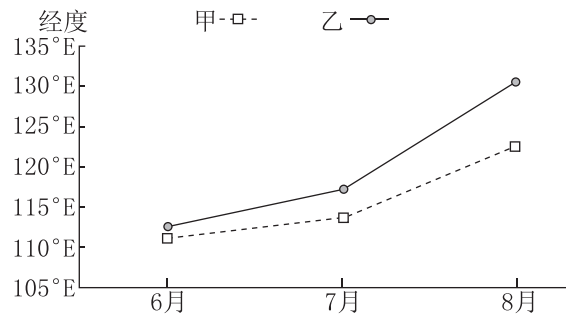
[2025·皖南八校联考] 琼州海峡每年1—3月特别是春节期间多雾, 大雾天气对琼州海峡地区通航、公路交通和航空运输等均会产生影响。2025年1月某日, 受天气系统影响, 我国东部大部分地区出现能见度较低的大雾天气。下图为我国部分地区2025年1月某日某时刻近地面气压场示意图。据此完成4~6题。



4. 图中影响我国东部大部分地区的M可能是 ()
A. 南下的冷锋 B. 北上的暖锋
C. 热带气旋 D. 高压脊

5. 此时刻前后, 天气由雨雪转雾的城市可能是 ()
A. 郑州 B. 合肥 C. 广州 D. 海口
6. 每年春节期间, 琼州海峡易出现大雾天气的主要原因是 ()
A. 陆地辐射冷却强烈, 水汽凝结形成辐射雾
B. 冷空气南下减弱后, 暖湿气流平流至冷海面冷却凝结
C. 暖湿气流与冷气团交汇, 形成锋面雾
D. 春节期间工业排放增多, 凝结核丰富

[2025·湖北七市州3月调研] 西太平洋副热带高压是海洋向我国输送水汽的重要系统, 其移动及强弱变化对我国夏季降水影响十分突出。某气象研究中心对甲(1948—1978年)和乙(1979—2016年)两个时段的夏季西太平洋副热带高压的西脊点(西脊点是西太平洋副热带高压脊线西伸端点位置)进行了长期观察, 总结出了其年代际变化(如图)。据此完成7~9题。



7. 与甲时段相比, 乙时段夏季西太平洋副热带高压 ()
A. 整体偏东, 月移动幅度较大
B. 整体偏西, 月移动幅度较大
C. 整体偏东, 月移动幅度较小
D. 整体偏西, 月移动幅度较小
8. 与甲时段相比, 乙时段夏季 ()
A. 华北降水增加, 江淮降水减少
B. 华北降水减少, 江淮降水增加
C. 华北降水增加, 江淮降水增加
D. 华北降水减少, 江淮降水减少
9. 为应对乙时段降水异常现象, 华北地区应 ()
A. 建设防洪堤坝
B. 实施人工降水
C. 进行生态移民
D. 完善排灌系统

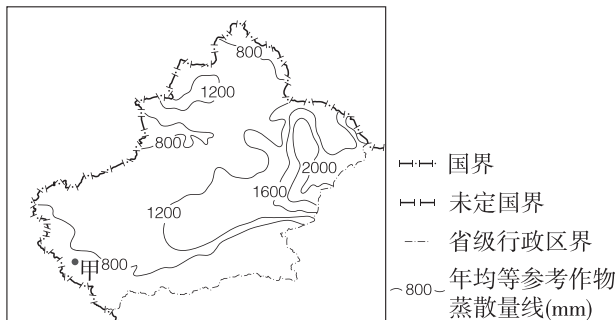
特训3

(用时____分钟, 得分____)

水循环; 洋流; ①天气系统

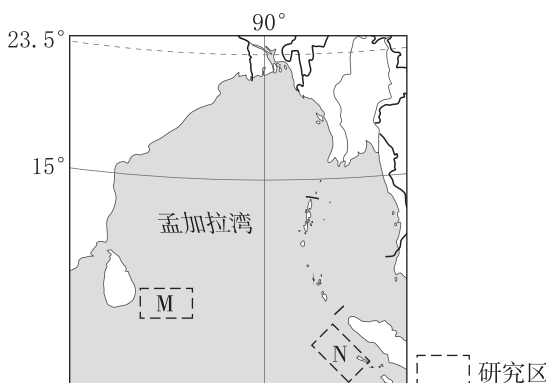
选择题每个3分, 共15分。四个选项中只有一个选项是正确的。非选择题18分。总分33分。

[2025·北京门头沟一模] 参考作物蒸散量是指在理想条件下, 地面被生长良好的参考作物(通常为0.12米的短草)完全覆盖, 土壤充分湿润情况下植物蒸腾和土壤蒸发的水分总量。下图为新疆各地年均等参考作物蒸散量线分布示意图。据此完成1~3题。



1. 新疆各地年均参考作物蒸散量 ()
A. 盆地大于山区
B. 从南向北数值在逐渐增大
C. 四周大于中部
D. 甲地数值在800毫米以上
2. 导致新疆各地参考作物蒸散量差异的主要因素是 ()
A. 土壤含水量 B. 植被覆盖率
C. 空气相对湿度 D. 地表植被类型
3. 参考作物蒸散量的研究有利于 ()
①优化水资源配置 ②规划工程建设 ③合理种植作物 ④改善生态环境
A. ①②③ B. ①②④
C. ①③④ D. ②③④

[2024·山东卷] 海洋浮游植物密度的空间分布与海水性质、营养盐等环境因子密切相关。远岸海域浮游植物密度受陆地影响较小。下图示意孟加拉湾及其周边区域。据此完成4~5题。



4. 下列月份中, M区域浮游植物密度最高的是 ()
A. 1月 B. 4月 C. 7月 D. 10月
5. 与7—8月相比, 12月至次年1月N区域海水盐度较高的主要影响因素是 ()
A. 蒸发 B. 降水 C. 径流 D. 洋流
6. (18分)[2025·湖北十一校联考] 阅读材料, 完成下列要求。

2024年2月初湖北省遭受了一次极端冰冻天气过程, 期间经历了冻雨、冰粒和雪等多种降水相态变化, 其中冻雨强度为当地1981年以后最强。冻雨是指过冷水滴在降落过程中遇到温度低于0℃的物体, 迅速冻结成冰的降水现象。下表为武汉市2月2日和3日大气层部分参数表。

时间	降水相态	云顶		融化层		低层冷垫	
		气压(hPa)	温度(℃)	最高温(℃)	高度(m)	厚度(m)	最低温(℃)
2日20时	冻雨	539.5	-13	4.6	1469~3088	1414	-4
3日8时	冰粒	332.4	-38.2	2.5	1717~2732	1625	-6.3

(1)依据材料, 从天气系统的角度描述冻雨的形成过程。(6分)

(2)依据表格, 比较冰粒和冻雨发生时大气层有何不同。(6分)

(3)分析冻雨给湖北地区带来的不利影响。(6分)

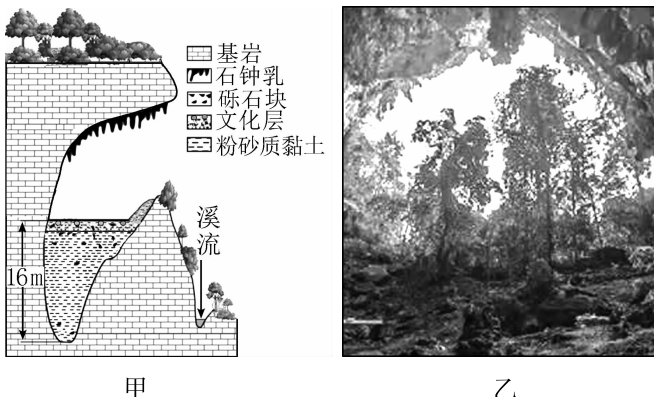
特训4

(用时____分钟, 得分____)

流水作用; 地质构造; 地形对聚落的影响

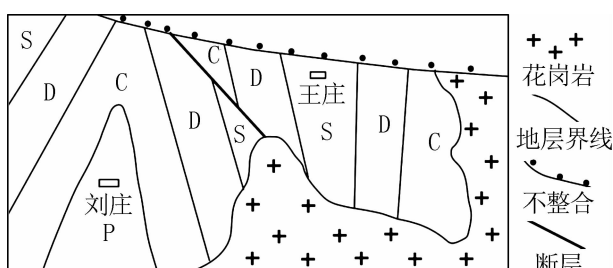
选择题每个3分, 共21分。四个选项中只有一个选项是正确的。总分21分。

[2024·广东卷] 发育于云南省临沧市某处半山腰的硝洞是一个石灰岩溶洞, 洞内有较厚的夹杂石灰岩砾石块的粉砂质黏土沉积物, 其表层有约2米厚的文化层(含有古人类活动遗留物的沉积层)。图甲为硝洞剖面示意图, 图乙为自洞内望向洞口方向的景观照片。据此完成1~2题。



1. 参与该溶洞形成的主要外力作用包括 ()
①化学溶蚀 ②重力崩塌 ③冰川刨蚀 ④风力吹蚀 ⑤流水侵蚀
A. ①②③ B. ①②⑤
C. ①④⑤ D. ③④⑤
2. 可推断, 该溶洞内的粉砂质黏土沉积物主要源自 ()
A. 洞顶的滴水化学淀积物
B. 人类活动遗留的堆填物
C. 洞内石灰岩崩塌堆积物
D. 地质时期的流水搬运物

[2025·江西重点中学盟校联考] 地层是具有时间顺序的层状岩石, 其构造特征能揭示地质时期的地理环境和地质演化过程。下图为某地的平面地质图, 地层S→D→C→P由老到新。据此完成3~5题。



3. 王庄一带的地质构造为 ()
A. 背斜 B. 向斜
C. 地垒 D. 地堑

4. 断层东北侧的地层 ()

- A. 相对西南侧抬升 B. 相对西南侧下沉
C. 向东南水平移动 D. 向西北水平移动

5. 下列四个地质事件发生时间相对最晚的是 ()

- A. 断层作用 B. 花岗岩侵入
C. 岩层褶皱 D. 不整合覆盖

[2025·山东青岛一模] 山东北部地区聚落遗址的分布与地貌类型关系密切。下表示意新石器时代至商周时期遗址数量在不同地貌类型中的比例(单位:%)。据此完成6~7题。

地貌类型	地貌类型面积百分比	新石器时代					商周	全部遗址
		后李	北辛	大汶口	龙山	岳石		
水体	0.35	0	0	0	0	0	0	0
冲积海积平原	8.51	0	0	0	0	0	0.72	0.60
河流及漫滩	6.19	0	6.25	2.82	3.54	1.45	3.61	3.39
冲积平原	49.56	9.09	25	28.17	31.03	36.23	34.62	32.14
洪积台地	16.71	81.82	50	48.59	47.39	45.65	44.18	46.37
山间河谷平原	1.52	9.09	18.75	6.33	2.53	2.17	1.85	2
山地丘陵	17.16	0	0	14.09	15.51	14.50	15.02	15.50

6. 推断古人繁衍生息的良好场所是 ()

- A. 山地丘陵 B. 洪积台地
C. 冲积平原 D. 山间河谷平原

7. 新石器时代至商周时期遗址数量在不同地貌类型中的比例变化表明 ()

- ①农业生产技术不断进步
②聚落选址的海拔由高向低扩展
③古人改造环境的能力逐渐增强
④山间河谷平原的生存条件日趋恶化
A. ①③ B. ①④
C. ②③ D. ②④

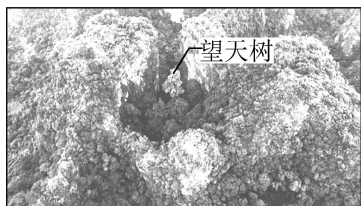
特训5

(用时____分钟, 得分____)

植被; 要素间的相互关系; 垂直地域差异

选择题每个3分, 共24分。四个选项中只有一个选项是正确的。总分24分。

[2024·新课标全国卷] 我国广西西南部某喀斯特地区(22.5°N附近), 峰丛顶部多为旱生型矮林; 峰丛洼地内为雨林, 其顶层多被望天树(热带雨林的代表性树种)占据。2023年3月, 调查人员在该地一个峰丛洼地内发现了高达72.4米的望天树(如下图), 打破了我国喀斯特地区“最高树”的纪录。据此完成1~3题。



1. 与我国同纬度多数地区相比, 该地区峰丛洼地内发育雨林主要得益于 ()

- A. 冬季气温较高 B. 夏季气温较高
C. 冬季降水较多 D. 夏季降水较多

2. 该地区峰丛顶部多为旱生型矮林, 主要原因是 ()

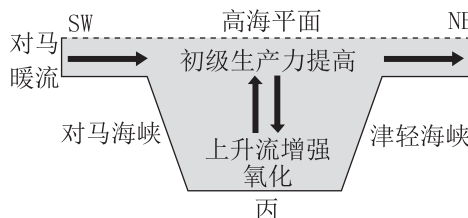
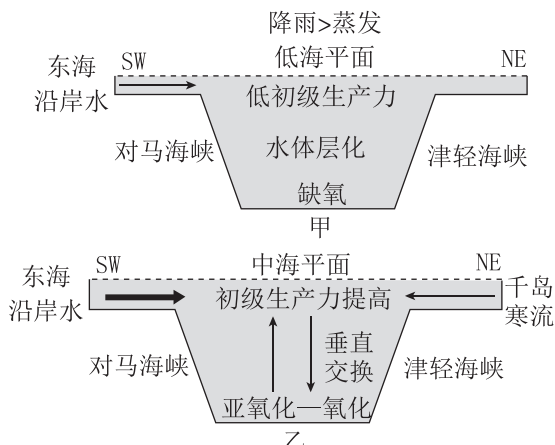
- A. 气温低 B. 土层薄
C. 降水少 D. 土壤黏重

3. 上图所示“最高树”出现的必备条件是该峰丛洼地 ()

- ①生物多样性高 ②地形相对封闭 ③太阳辐射强
④相对高差大

- A. ①③ B. ①④ C. ②③ D. ②④

[2025·湖南长沙一中模拟] 日本海作为西北太平洋的主要边缘海之一, 对气候及海平面变化响应十分敏感。在地质历史时期, 其表层初级生产力主要取决于浮游生物必需的主要营养盐(氮、磷和硅)和微量营养盐(铁、锰、钴、锌、铜等)。下图为末次冰期以来日本海古生产力的演化模式及主控因素图。据此完成4~6题。



4. 末次冰期以来日本海营养盐的主要来源方式是 ()

- ①风尘输入 ②硅藻腐化 ③海水蒸发 ④洋流挟带

- A. ①③ B. ②④ C. ②③ D. ①④

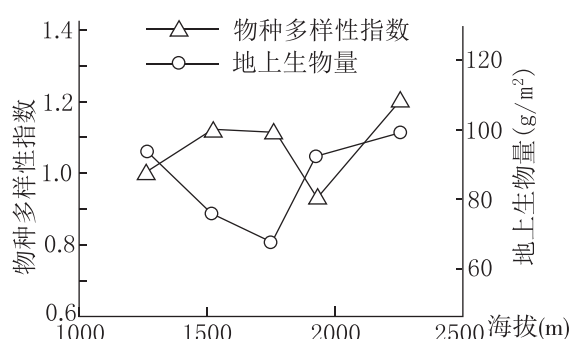
5. 图甲时期日本海表层初级生产力较低的主要原因是 ()

- A. 水体垂直交换有限 B. 高盐度海水的注入
C. 水体处在缺氧环境 D. 生物群落结构单一

6. 图甲至图丙时期日本海表层初级生产力的变化表明 ()

- A. 盛行西风不断减弱 B. 东亚夏季风在减弱
C. 东亚夏季风在增强 D. 东亚冬季风在增强

[2025·天津河西三模] 下图为阿尔泰山西南段不同海拔草地群落的物种多样性指数(指数越大, 物种越丰富)和地上生物量分布示意图。该地地势北高南低, 具有明显的垂直地域分异。受某种因素影响, 海拔1700~1800米区域地上生物量出现异常。据此完成7~8题。



7. 按垂直地域分异规律, 海拔1000~2300米范围内, 随海拔升高各要素变化应为 ()

- A. 多样性: 先增加, 再减少
B. 生物量: 先减少, 再增多
C. 降水: 先增加, 后减少
D. 植被: 由草原到草甸

8. 地上生物量出现异常的原因是该区域 ()

- A. 降水量减少 B. 土壤荒漠化
C. 为夏季牧场区 D. 人口增量大

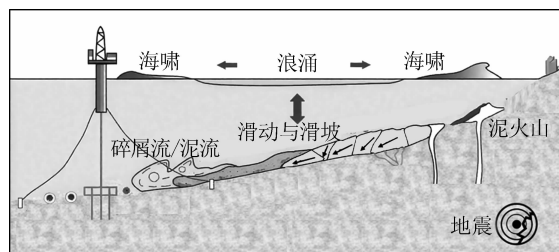
特训6

(用时____分钟, 得分____)

滑坡灾害及预防; 人口问题; ②海水运动

选择题每个3分, 共15分。四个选项中只有一个选项是正确的。非选择题14分。总分29分。

[2025·鄂东南联盟联考模拟] 海底滑坡指海底未固结的松软沉积物或存在软弱结构面的岩石, 在重力作用下沿斜坡发生的快速滑动现象。海底滑坡易引发多种海洋次生灾害, 形成灾害链, 从而对海上人类活动及工程设施造成影响。下图示意海底滑坡链式灾害。据此完成1~3题。



1. 下列区域中, 易发生海底滑坡的是 ()

- ①大陆坡 ②洋脊 ③大洋火山岛 ④洋盆
A. ①②③ B. ①②④ C. ①③④ D. ②③④

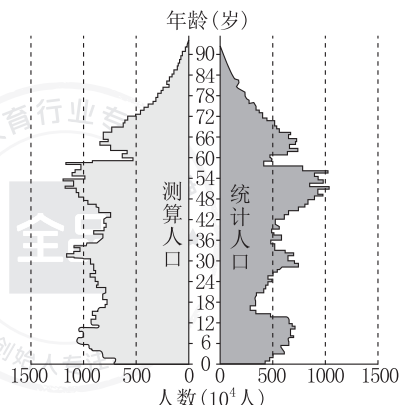
2. 下列与海底滑坡相关的灾害链正确的是 ()

- A. 地震→海啸→滑坡→浪涌
B. 火山→地震→泥流→滑坡
C. 滑坡→泥流→浪涌→海啸
D. 地震→火山→海啸→浪涌

3. 下列关于海底滑坡对人类活动及工程设施的影响解释正确的是 ()

- A. 深海发生滑坡时, 海水扰动剧烈, 浪涌大, 不利于远洋捕捞
B. 海底滑坡体积大, 对海底管线的冲击作用强, 破坏海底管线
C. 海底滑坡产生的浪涌波高较低, 波长较长, 对深海设施影响大
D. 海底滑坡诱发海底地震, 引发海平面剧烈升降, 破坏海面设施

[2024·湖南卷] 某学者以2010年常住人口为基础, 在不考虑城乡人口迁移的条件下, 测算出2020年我国乡村各年龄段常住人口数量。下图示意2020年我国乡村常住人口的测算结果与统计结果。据此完成4~5题。



4. 测算人口数量与统计人口数量差异最显著的年龄段及该年龄段两者数量差异形成的原因是 ()

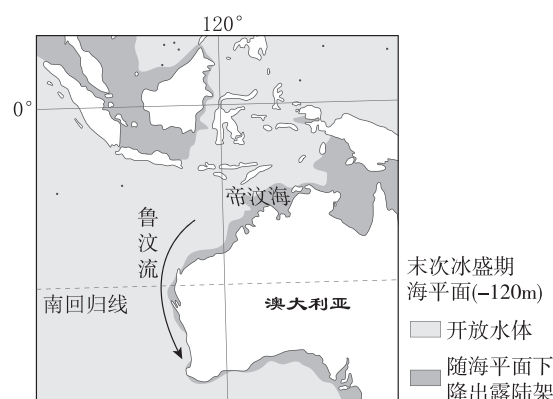
- A. 15~21岁, 人口自然增长慢
B. 36~42岁, 人口自然增长慢
C. 15~21岁, 人口净流出量高
D. 36~42岁, 人口净流出量高

5. 图示统计人口的年龄结构可能会影响乡村振兴带来的影响是 ()

- ①阻碍农民增收 ②造成生态破坏 ③导致乡愁淡化 ④增加耕地撂荒
A. ①② B. ②③ C. ①④ D. ③④

6. (14分)[2025·内蒙古赤峰三模] 阅读图文材料, 完成下列要求。

鲁汶流是印度尼西亚穿越流的分支, 发源于帝汶海, 受帝汶海和澳大利亚西南沿岸之间海平面压力梯度的驱动, 沿澳大利亚西岸向南流动。当洋流抵达澳大利亚西南端的鲁汶角后, 转向沿澳大利亚南岸向东延伸, 其影响范围最远可至塔斯马尼亚岛。研究表明, 鲁汶流强度在冰期和间冰期会发生显著变化。下图示意末次冰盛期印度尼西亚海域和澳大利亚局部陆架暴露情况。



(1)简述鲁汶流对澳大利亚西海岸气候的影响。(4分)

(2)对比冰期和间冰期鲁汶流的强弱变化, 并阐述理由。(6分)

(3)说明鲁汶流势力显著增强的年份对流经海域海洋生物造成的威胁。(4分)

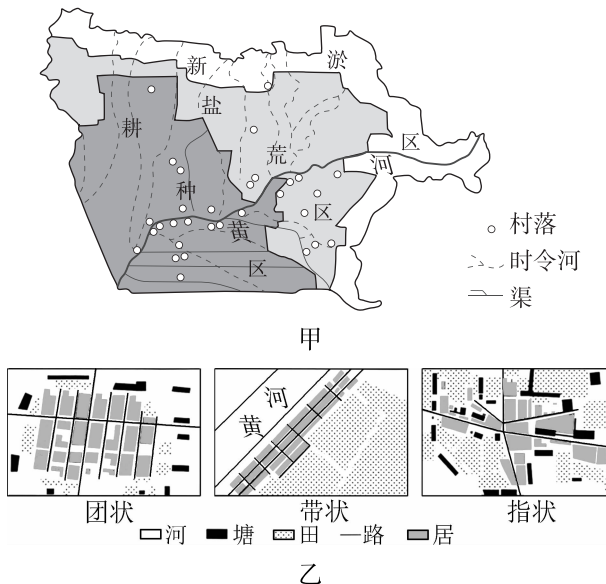
特训7

(用时____分钟, 得分____)

城乡空间结构; 农业区位因素; 工业区位因素

选择题每个3分, 共24分。四个选项中只有一个选项是正确的。总分24分。

[2024·黑吉辽卷] 黄河三角洲村落空间形态具有明显的水适应性特征。在“河、塘、田、路、居”五因子的数量、分布等长期影响下, 黄河三角洲的村落表现出团状、带状、指状3种典型空间形态。图甲为黄河三角洲典型村落分布图。图乙示意黄河三角洲村落空间形态。据此完成1~3题。



1. 团状村落的主要特征是 ()

- A. 前邻农田, 后依河堤
- B. 塘路环绕, 结构分散
- C. 塘田较多, 零散分布
- D. 塘田包围, 居路规整

2. 影响带状村落主轴线和骨架形成的主导因子是 ()

- A. 河和田
- B. 河和路
- C. 路和居
- D. 路和田

3. 指状村落集中分布在 ()

- A. 远离黄河的耕种区
- B. 临近黄河的耕种区
- C. 远离黄河的盐荒区
- D. 临近黄河的盐荒区

[2025·浙江杭州三模] 某科研团队在和田采用精准调配的营养液替代土壤, 再通过人工光源和环境调控技术对水稻开展光控和温控干预, 成功攻克了在沙漠温室条件下水稻快繁生长的关键难题, 实现从定植到收获只用两个月。此外, 该团队还相继探索了大豆、玉米、小麦等主粮作物, 以及油菜、棉花和苜蓿等作物。完成4~5题。

4. 与传统水稻种植业相比, 沙漠温室条件下种植水稻的主导优势是 ()

- A. 光热更充足
- B. 昼夜温差更大
- C. 水资源利用率更高
- D. 环境更可控

5. 实施沙漠温室种植作物的主要目的是 ()

- A. 提高单位面积产量
- B. 利用土地和光热资源
- C. 发挥科技兴农优势
- D. 实现农业的规模化生产

[2025·江西九江三模] 某知名企业以智能手机研发、销售为核心, 逐步构建“智能手机+物联网”的生态链发展模式。下图示意该企业发展时间轨迹。据此完成6~8题。



6. 2011年该企业手机生产选择代工模式的原因可能是 ()

- ①资金有限
- ②技术缺乏
- ③劳动力短缺
- ④为降低风险

A. ①②

B. ①④

C. ②③

D. ③④

7. 2019年该企业将手机品牌分拆的主要目的是 ()

- A. 加强内部竞争, 提升产品品质
- B. 满足客户需求, 扩大市场覆盖
- C. 精简企业部门, 节省管理成本
- D. 提升品牌价值, 自负企业盈亏

8. 在“智能手机+物联网”的生态链构建过程中, 该企业应注重 ()

- A. 加强数据安全
- B. 降低手机价格
- C. 完善手机售后
- D. 完善法律法规

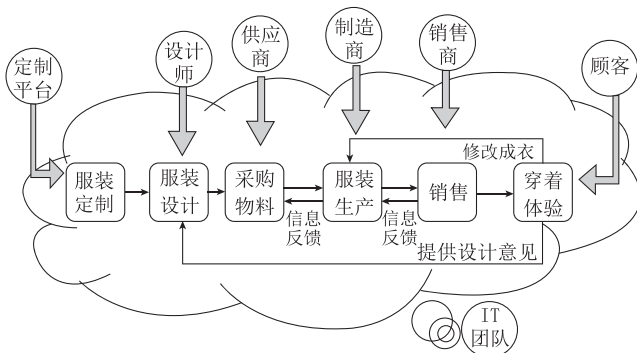
特训8

(用时____分钟, 得分____)

服务业区位因素; 交通运输区位因素; 可持续发展

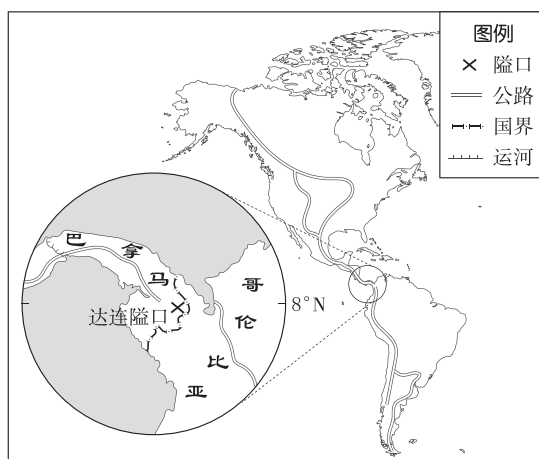
选择题每个3分, 共24分。四个选项中只有一个选项是正确的。总分24分。

[2025·湖北黄冈三模] 随着社会经济的发展, 服装行业不断向多品种、小批量、短周期生产制造模式转变。我国M服装企业采取“柔性供应链”, 推动先进制造业和现代服务业的深度融合。下图示意M服装企业“柔性供应链”。据此完成1~3题。



1. 与服装行业设计环节可深度融合的现代服务业是 ()
A. 智能物流业 B. 网络金融业
C. 环保服务业 D. 信息服务业
2. 促使M服装企业采取“柔性供应链”的主要外部因素是 ()
A. 原料供应困难 B. 交通条件改善
C. 企业竞争激烈 D. 营销费用上升
3. 下列有关该企业的说法, 正确的是 ()
A. 服装制造一定在企业内部进行
B. 产品覆盖低、中、高端市场
C. 主要生产大批量、标准化产品
D. 产品款式多, 迅速进入市场

[2024·江苏卷] 始建于20世纪20年代的泛美公路干线总长26 000千米, 但在巴拿马与哥伦比亚两国交界处的达连隘口段至今尚未连通。下图为泛美公路达连隘口段示意图。据此回答4~5题。



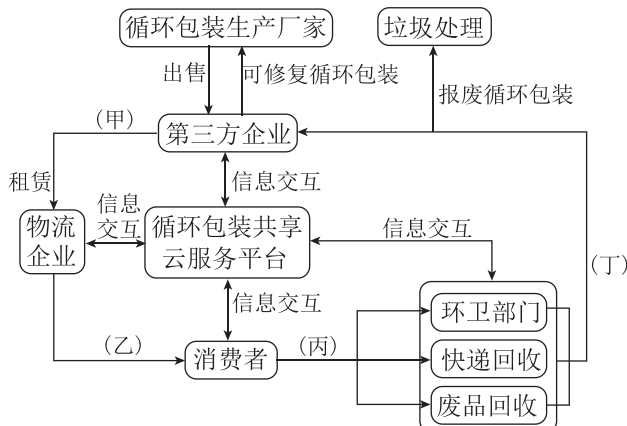
4. 泛美公路建设初期, 达连隘口段公路未修建的主要自然原因是 ()

- A. 地震频繁, 地质灾害多
B. 隘口狭窄, 可用土地少
C. 两侧临海, 风暴影响大
D. 雨林密布, 地势起伏大

5. 达连隘口段公路至今尚未连通, 除生态环境因素外, 还受到的主要影响因素是 ()

- A. 建设资金 B. 工程技术
C. 地缘政治 D. 人口数量

[2025·湖北华大新高考联盟3月质测] 循环包装正成为快递行业“减碳”的驱动力。我国某著名企业通过打造循环包装共享云服务平台, 实现循环快递包装业务的信息交互、下单、跟踪等功能。目前, 我国循环快递包装推广较慢。下图示意循环快递包装共享模式运营流程。据此完成6~8题。



6. 最可能制约循环包装大规模推广的环节是 ()

- A. 甲 B. 乙 C. 丙 D. 丁

7. 循环包装共享云服务平台主要利用的地理信息技术是 ()

- ①地理信息系统
②北斗卫星导航系统
③无人机运输
④遥感技术

- A. ①② B. ①③ C. ②④ D. ③④

8. 为提高循环包装的使用率, 最有效的做法是 ()

- A. 加厚包装, 延长使用寿命
B. 拓展体积, 增加储物空间
C. 降低成本, 减少使用费用
D. 加强宣传, 提升环保意识

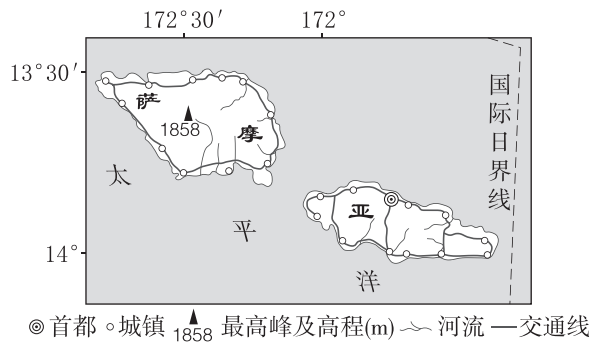
特训9

(用时____分钟, 得分____)

区域差异; 湿地功能及开发、保护; ③内力作用对地表形态的影响

选择题每个3分, 共15分。四个选项中只有一个选项是正确的。非选择题16分。总分31分。

[2025·北京顺义一模] 萨摩亚是太平洋中的岛国, 以火山地貌为主。2024年4月萨摩亚引进我国拖拉机、喷药机等重型农业机械设备。读图完成1~3题。



◎首都△城镇▲最高峰及高程(m)~~河流—交通线

1. 萨摩亚 ()

- A. 位于中国东南方向
- B. 城镇主要沿河流呈环状分布
- C. 山顶积雪终年不化
- D. 受寒流的影响, 多雾少雨

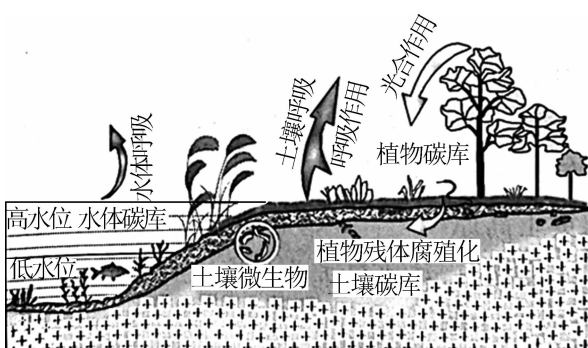
2. 与中国海南岛相比, 萨摩亚 ()

- A. 不易受热带气旋的影响
- B. 更早迎来新的一天
- C. 岛屿形成原因大致相同
- D. 经济发展水平更高

3. 萨摩亚引进重型农业机械设备, 可以 ()

- A. 提高农作物复种指数
- B. 用于土地平整和播种
- C. 促进种植业结构优化
- D. 延长农作物的生长期

[2023·浙江6月选考] 在“双碳”目标背景下, 湖泊湿地的生态修复是个重要的固碳举措。下图为湖泊湿地碳循环示意图。完成4~5题。



4. 植物多样性增加对湖泊湿地固碳作用的影响是 ()

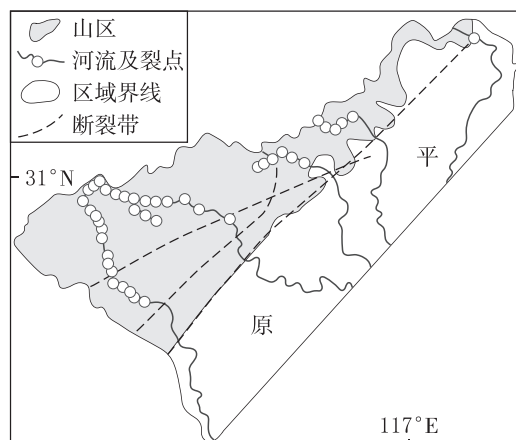
- A. 土壤碳含量降低
- B. 根系吸碳量减少
- C. 碳净排放量降低
- D. 微生物活性减弱

5. 下列对湖泊湿地生态修复的措施, 合理的是 ()

- A. 减少湖滨植物, 清除入湖污染物
- B. 放生外来物种, 增加生物多样性
- C. 降低湖面水位, 重建微生物群落
- D. 改变湿地地形, 建设生态缓冲岛

6. (16分)[2025·辽宁扣题考试] 阅读图文材料, 完成下列要求。

裂点是河流纵剖面上坡度突然变陡的段落, 是河流地貌演化的重要标志。裂点形成常与构造运动、岩性变化等因素相关; 一般而言, 裂点密集度与构造运动活跃性呈正相关。下图是大别山东南缘河流裂点和断裂带分布简图。



(1) 描述图中构造运动活跃性的空间分布差异。

(4分)

(2) 从裂点密集度角度, 分析其对山前平原形成的影响。(6分)

(3) 说出裂点处河流地貌景观及主要外力作用。(6分)

特训10

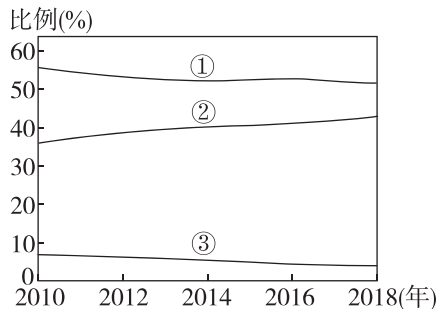
(用时____分钟, 得分____)

区域产业结构优化; 城市群的发展; 流域的治理措施

选择题每个3分, 共21分。四个选项中只有一个选项是正确的。总分21分。

[2023·福建卷] 自然资源丰富的国家(或地区)

若投入到自然资源开发及贸易的资金和劳动力过多, 影响其他行业发展, 可能导致经济发展缓慢, 引发“资源诅咒”。当前俄罗斯油气技术装备的进口比例偏高。俄罗斯北极地区某自治区近年来大力开发油气资源和发展储运, 其第三产业以劳动密集型为主。下图示意该区从业人口构成变化。据此完成1~2题。



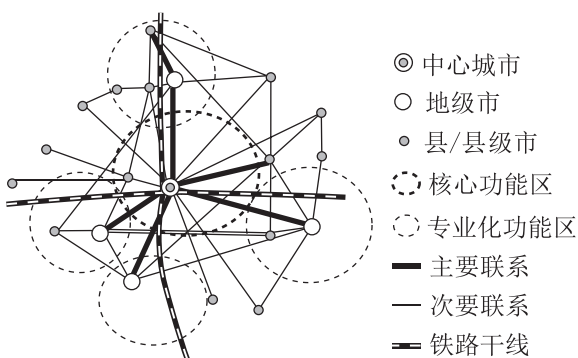
1. 有人认为该区存在“资源诅咒”风险, 若该结论成立, 则图中序号代表 ()

- A. ①第一产业, ②第三产业
- B. ①第三产业, ②第二产业
- C. ①第二产业, ③第三产业
- D. ②第一产业, ③第二产业

2. 中俄已就共建“冰上丝绸之路”达成共识, 该区希望通过合作优先解决油气行业 ()

- A. 技术支撑不足
- B. 环境污染严重
- C. 产量趋于下降
- D. 从业人口短缺

[2025·广东深圳五模] 徐州都市圈位于共建“一带一路”重要枢纽区和苏、鲁、豫、皖四省交界区, 是淮海经济区的核心部分, 区域整体发展水平和中心城市辐射能力较弱, 尤其是同级别城市之间未建立有序的产业分工体系。为促进徐州都市圈整体发展, 政府部门划定四个专业化功能区, 每个专业化功能区重点发展一两项特色产业。下图示意徐州都市圈网络结构。据此完成3~5题。



3. 徐州都市圈中心城市辐射能力较弱, 最可能因为 ()

- A. 人口流失严重
- B. 高端产业不足
- C. 交通条件不便
- D. 位于四省交界

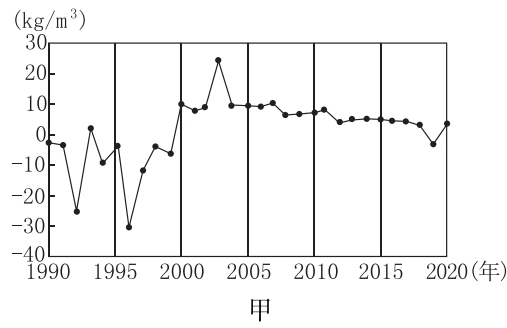
4. 专业化功能区划分的关键因素是 ()

- A. 周边县级市数量
- B. 与交通干线的距离
- C. 依托地级市建制
- D. 与徐州市区的距离

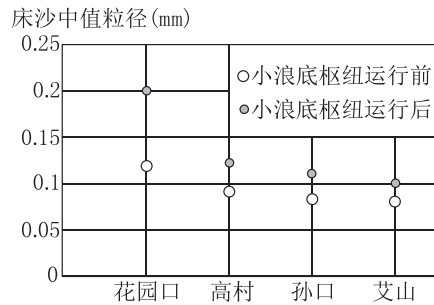
5. 为促进分工协作, 四个专业化功能区需要 ()

- A. 互相转移产业
- B. 引进徐州人才
- C. 发展相近产业
- D. 完善连接交通

[2025·辽宁七校协作体联考] 小浪底水利枢纽调水调沙是指在汛期前和汛期内多次调节下泄水量, 以改变黄河下游河床冲淤状况的运行机制。床沙中值粒径是指河床沉积物直径大小的中间值。河道年冲刷效率=河床冲沙量/河床径流量(单位: 千克/米³), 正值为冲刷, 负值为淤积。图甲为1990—2020年黄河下游河道年冲刷效率统计图, 图乙为1990—2020年黄河下游四个水文站床沙中值粒径变化图。据此完成6~7题。



甲



乙

6. 小浪底水利工程调水调沙后, 床沙中值粒径变化及原因正确的是 ()

- A. 变小, 来沙粒径减小
- B. 变大, 搬运能力增强
- C. 变小, 搬运能力减弱
- D. 变大, 来沙粒径变大

7. 近年, 年冲刷效率有降低的趋势, 原因可能是 ()

- A. 河流流量减少
- B. 河流流速增加
- C. 上游来沙增多
- D. 床沙粒径变化

特训11

(用时____分钟, 得分____)

产业转移; 我国耕地资源开发利用现状; 能源安全

选择题每个3分, 共24分。四个选项中只有一个选项是正确的。总分24分。

[2024·江西卷] 越南是东南亚最大的摩托车拥有国之一。相对于燃油摩托车, 电动摩托车拥有量占比较小, 但增长势头强劲。M公司是集研发、生产和销售于一体的中国电动摩托车龙头企业。2019年该公司在越南投资建厂, 年产20万辆; 2023年又投资建新厂, 预计年产200万辆, 并计划在新厂设立研发中心。据此完成1~3题。

1. 越南民众纷纷转而购买电动摩托车, 考虑的最主要因素是 ()

- A. 环保 B. 经济
C. 舒适度 D. 质量

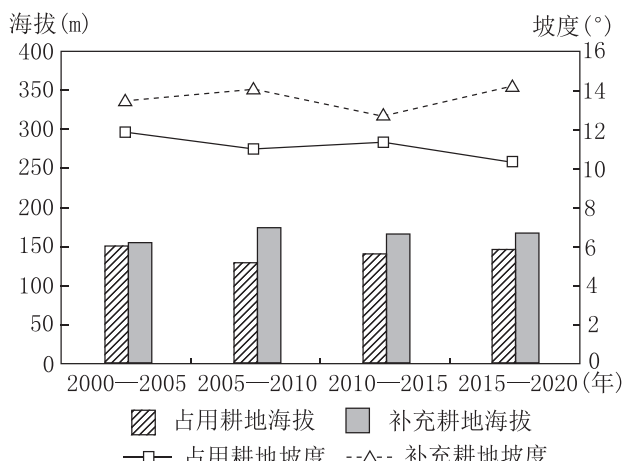
2. M公司计划在越南设立研发中心的主要目的是 ()

- A. 提升产品产能
B. 提高技术水平
C. 降低生产成本
D. 适应当地市场

3. M公司的投资有利于越南相关产业 ()

- ①劳动力价格降低
②能耗总量减少
③转型升级加速
④国际竞争力提升
A. ①② B. ①③
C. ③④ D. ②④

[2025·湖北黄石二中二模] “耕地占补平衡”是指建设时占用多少耕地, 就应补充数量和质量相当的耕地。下图示意福建省2000—2020年占补耕地平均海拔和坡度变化。据此完成4~6题。



4. 2000—2020年福建省补充耕地 ()

- A. 东部补充较多 B. 质量总体上升
C. 平均坡度升高 D. 占补差额增大

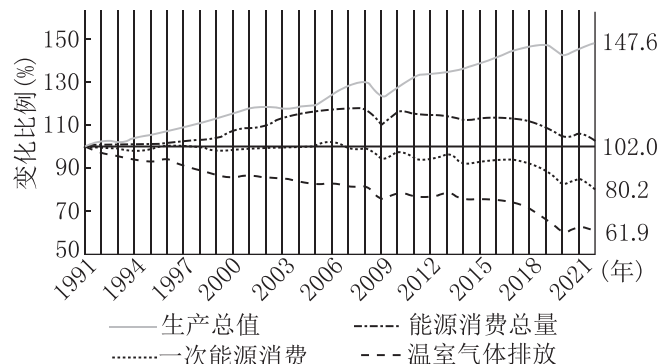
5. 2000—2020年, 耕地占补情况对福建省河流的可能影响是 ()

- A. 流速减小 B. 流域面积减小
C. 含沙量增大 D. 径流量增大

6. 为确保福建省耕地占补平衡, 以下措施可行的是 ()

- A. 围垦沿海滩涂
B. 禁止交通建设占地
C. 开垦山区森林
D. 复耕闲置建筑用地

[2025·河北邯郸一模] 德国是自然资源较为贫乏的国家, 除硬煤、褐煤和盐储量丰富外, 在原料供应和能源方面很大程度上依赖进口。德国是世界上最早推动能源转型的国家之一。近年来, 德国政府出台多项措施加速推动能源转型。下图为1991—2022年德国生产总值、能源消费与温室气体排放变化示意图。据此完成7~8题。



7. 1991—2022年, 德国 ()

- A. 经济出现下行趋势
B. 温室气体排放飙升
C. 能源消费增长放缓
D. 一次能源消费稳定

8. 近年来, 德国加速推动能源转型的最主要目的是 ()

- A. 转变产业发展结构
B. 提高能源自给水平
C. 增加更多就业岗位
D. 改善区域空气质量

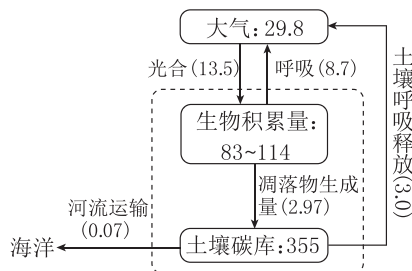
特训12

(用时____分钟, 得分____)

全球气候变化; 新情境试题; ④整体性

选择题每个3分, 共15分。四个选项中只有一个选项是正确的。非选择题18分。总分33分。

[2024·海南卷] 碳汇是从大气中清除CO₂, 碳源是向大气中排放CO₂。碳循环过程中地球系统内储存碳的载体称为碳库。下图为北极地区陆地生态系统(虚线框内)碳循环示意图, 该系统在碳循环过程中对气候的反应敏感。据此完成1~3题。



注: 加括号者为年转化量(10^9 t/a), 未加括号者为积累量(10^9 t)

1. 在北极地区陆地生态系统碳循环中 ()

- A. 生物光合作用对大气起着碳源作用
- B. 土壤呼吸对大气起着碳汇作用
- C. 该系统对大气起着净碳汇作用
- D. 气温升高, 土壤碳排放减少

2. 据图可知 ()

- A. 陆地生态系统净固碳量为 1.73×10^9 吨/年
- B. 陆地生态系统碳排放量为 8.70×10^9 吨/年
- C. 生物净固碳量为 13.50×10^9 吨/年
- D. 土壤碳排放量为 2.97×10^9 吨/年

3. 在北极地区陆地生态系统中, 土壤碳储量远高于其他碳储量的主要影响因素是 ()

- A. 地形
- B. 气候
- C. 生物
- D. 水文

[2025·福建龙岩一模] 大气饱和水汽压差是指在一定温度下饱和水汽压与空气中实际水汽压的差值, 反映了实际大气中水汽距离饱和的程度, 即空气的干燥程度。大气饱和水汽压差变化与温度变化呈正相关, 与相对湿度变化呈负相关。下表示意1961—2021年新疆某流域不同季节的气象要素的变化。据此完成4~5题。

	气温 (°C / 10a)	相对湿度 (%/10a)	饱和水汽压 (kPa / 10a)	实际水汽压 (kPa / 10a)
全年	0.217	0.201	0.018	0.011
春季	0.257	-0.085	0.023	0.007
夏季	0.169	0.382	0.029	0.022
秋季	0.129	0.274	0.012	0.010
冬季	0.309	0.122	0.009	0.006

4. 1961—2021年, 该流域大气饱和水汽压差的变化导致 ()

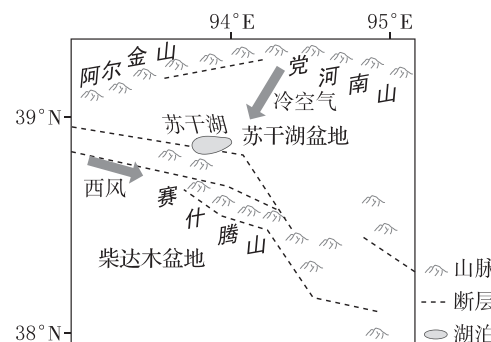
- A. 浅根植物繁盛
- B. 植被蒸腾量减少
- C. 风沙活动增强
- D. 土壤盐碱化减弱

5. 与秋季相比, 夏季干旱化更明显, 其主要原因可能是夏季 ()

- A. 气温上升速率较快
- B. 平均气温较高
- C. 相对湿度上升速率较快
- D. 相对湿度较大

6. (18分)[2025·广东深圳三模] 阅读图文材料, 完成下列要求。

地质历史时期, 柴达木盆地和苏干湖盆地连为一体, 发育古大湖。受西风和南下冷空气交汇叠加局地小气候影响, 古大湖降水量较丰富。随着赛什腾山隆升, 该区域降水减少, 古大湖快速萎缩, 目前仅在两个盆地的局部低洼处残余小型湖泊。柴达木盆地靠近赛什腾山一侧的山麓面海拔约2726米, 苏干湖湖面海拔约2793米, 而两者之间分水岭最低处海拔2807米。下图示意赛什腾山所在位置。



(1) 分析赛什腾山的隆升导致该区域降水减少的原因。(6分)

(2) 简述赛什腾山隆升后古大湖的水量损失途径。(4分)

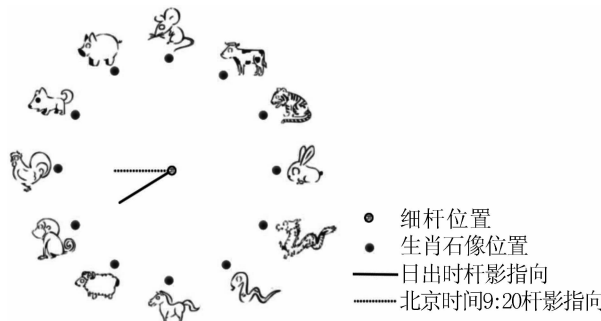
(3) 未来, 柴达木盆地和苏干湖盆地的湖泊是否可能相连? 请表明你的观点并说明理由。(8分)

特训13

(用时____分钟, 得分____) 太阳视运动、日影方向与长度变化; 正午太阳高度变化; 海气相互作用

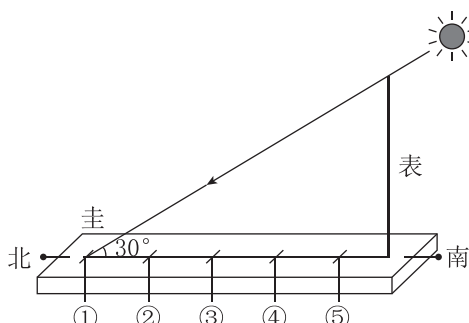
选择题每个3分, 共21分。四个选项中只有一个选项是正确的。总分21分。

[2023·山东卷] 某文化广场(37°N, 105°E)上的十二生肖石像均匀排列成圆形, 生肖鼠位于正北方。小明在圆中心竖立一根细杆, 以观察太阳周日视运动变化。下图示意夏至日两个时刻的杆影指向。据此完成1~2题。



1. 该地夏至日地方时16:00时, 杆影指向 ()
A. 生肖虎
B. 生肖虎与兔之间
C. 生肖兔
D. 生肖兔与龙之间
2. 11月至次年2月, 一日内被杆影指向的生肖石像个数最多为 ()
A. 5个 B. 6个
C. 7个 D. 8个

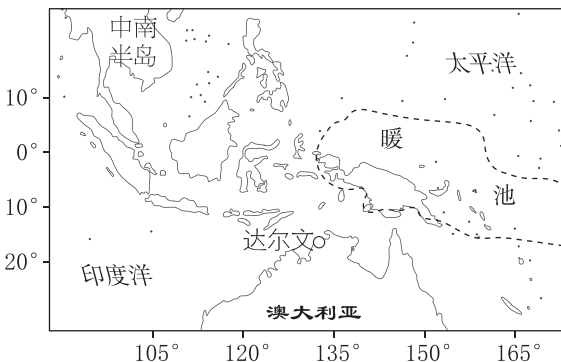
[2025·山东潍坊一模] 圭表是我国最早利用日影进行日期测量的天文仪器, 垂直于地面的直杆叫“表”, 水平放置于地面上测量影长的标尺叫“圭”。汉代时期的学者根据圭表日影长度变化确定了二十四节气。下图示意圭表的工作原理, 其中①和⑤表示该地冬至日和夏至日点, ②③④为①⑤线段间的四等分点。据此完成3~4题。



3. 该圭表可能位于 ()
A. 哈尔滨
B. 济南

- C. 杭州
D. 海口
4. 二十四节气中的春分和秋分应位于 ()
A. ①②之间
B. ②③之间
C. ③④之间
D. ④⑤之间

[2025·湖北新八校联考] 印度尼西亚东侧海域有一个全球面积最大的表层暖水聚集区——西太平洋暖池, 是现代最重要的热量和水汽源区之一。据统计, 暖池大小具有明显的年际变化。下图示意西太平洋海域概况(虚线范围示意西太平洋暖池中心的分布)。据此完成5~7题。



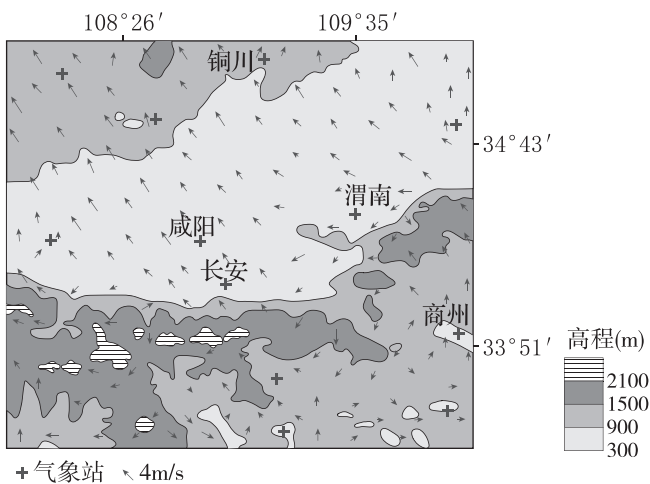
5. 推测影响达尔文雨季水汽输送的大气环流是 ()
A. 东北信风
B. 西北季风
C. 东南季风
D. 东南信风
6. 正常年份下西太平洋暖池对其所在海域的影响是 ()
A. 增加该海域潜热输送, 海洋热量支出大于收入
B. 赤道海域水温较高, 大气运动活跃, 台风多发
C. 表层海水温度较高, 蒸发旺盛, 盐度最高
D. 通过海气作用给沿岸地区增温增湿, 气候湿热
7. 为应对西太平洋暖池异常变化的影响, 我国北方地区农业生产需要 ()
A. 提高农业机械水平
B. 推广种植耐涝品种
C. 兴修农田水利设施
D. 加大台风防范力度

特训14

(用时____分钟, 得分____) 水平气压梯度力与风的形成; 气旋、反气旋天气系统; 气压带、风带与气候

选择题每个3分, 共21分。四个选项中只有一个选项是正确的。总分21分。

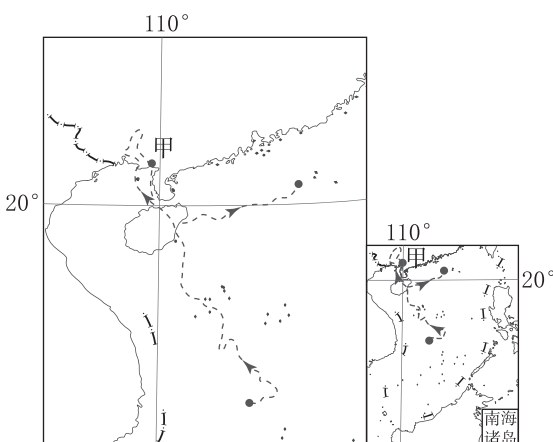
[2025·广东茂名一模] 关中盆地位于秦岭与黄土高原之间, 四周群山环抱, 构成一个相对封闭的盆地。局地环流是当地出现最多的风场形态。下图示意关中盆地2月4日某时刻局地环流风场。据此完成1~2题。



1. 该图示意的局地环流风场出现在该日的时刻是 ()
A. 1:00 B. 7:00
C. 13:00 D. 19:00

2. 与关中盆地北侧相比, 该时刻局地环流南侧较弱, 是因为南侧 ()
A. 地形起伏大 B. 气压梯度力大
C. 垂直温差大 D. 地转偏向力小

[2025·安徽马鞍山二模] 东亚季风低压常形成于西太平洋—中国南海海面上。当出现“低层冷、高层暖”的热力垂直结构时, 季风低压不能发展成为台风。下图为某年自6月4日起季风低压形成至消亡的移动轨迹示意图。据此完成3~5题。



3. 西太平洋海面上多发季风低压的主要原因是()

- A. 夏季风势力强
B. 冷空气势力弱
C. 海表水温较高
D. 海面摩擦力小

4. 6月8日季风低压到达甲地时出现强降水, 主要因为甲地 ()

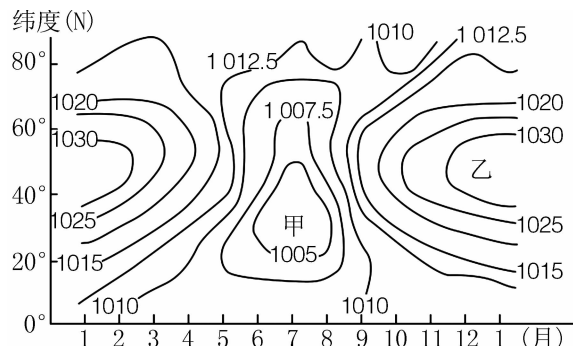
- A. 气温不断升高
B. 气压逐渐升高
C. 风速不断减小
D. 湿度相对增加

5. 季风低压没有发展成为台风, 并最终消亡, 是由于 ()

- ①生成时冷空气侵入
②失去水汽和热量供应
③登陆后摩擦力减小
④水汽凝结时释放潜热

- A. ①② B. ③④ C. ①④ D. ②③

[2024·浙江6月选考] 亚洲的天气、气候与气压场的分布及变化直接相关。下图为沿100°E海平面气压(单位:百帕)年变化图。完成6~7题。



注: 图中等压线为非等差数值线。

6. 甲、乙气压系统分别为 ()

- A. 赤道低压、极地高压
B. 印度低压、副热带高压
C. 亚洲低压、西伯利亚高压
D. 副极地低压、亚洲高压

7. 图中气压年变化最大的地方 ()

- A. 春季气压变化, 能减少沙尘灾害天气
B. 夏季气压控制, 易出现东南季风降水
C. 秋季气压变化, 可降低气旋出现频率
D. 冬季气压控制, 常形成低空逆温现象

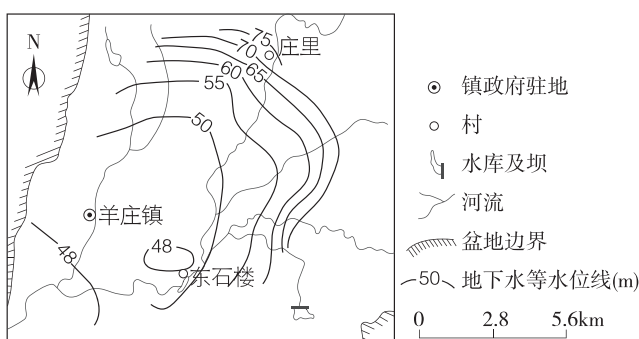
特训15

(用时____分钟, 得分____)

陆地水体间的补给关系; 海水性质; ⑤农业区位与农业生产

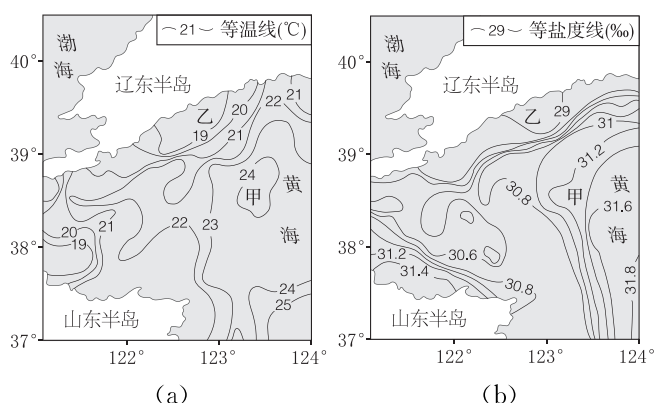
选择题每个3分, 共15分。四个选项中只有一个选项是正确的。非选择题20分。总分35分。

[2024·河北卷] 地处鲁南低山丘陵区的羊庄镇及周边区域, 碳酸盐岩广布, 溶蚀孔隙和断裂发育, 水循环条件和地下水储集条件良好, 被划为地下饮用水水源保护区。近年来, 受自然环境和人类活动双重因素影响, 区域地下水位大幅下降, 部分河流出现季节性断流。下图示意羊庄镇及周边区域某年地下水等水位线分布。据此完成1~3题。



1. 图中庄里村的地下水流向是 ()
A. 自西北向东南 B. 自东向西
C. 自东北向西南 D. 自北向南
2. 推测东石楼村附近地下水等水位线出现低值闭合现象的原因是当地 ()
A. 过度开采地下水 B. 地表蒸发加剧
C. 推广节水型农业 D. 大气降水减少
3. 考虑区域地质条件, 枯水季节地下饮用水水源保护区应重点管控 ()
A. 水库的渗漏污染 B. 地下水平径流污染
C. 河流的渗漏污染 D. 地表垂直渗流污染

[2025·北京东城二模] 图(a)为黄海部分海域夏季表层海水温度分布图, 图(b)为黄海部分海域夏季表层海水盐度分布图。读图完成4~5题。



4. 图示黄海海域 ()
A. 甲海区的海水温度低于24℃

B. 海水盐度从西向东逐渐升高

C. 海水温度高的海区盐度较低

D. 乙海区海水蒸发量相对较少

5. 推测乙海区夏季海水盐度较低的主要影响因素是 ()

A. 河流 B. 潮汐

C. 东南季风 D. 人类活动

6. (20分)[2025·湖北八市二模] 阅读图文材料, 完成下列问题。

近年来, 在内蒙古自治区的大地上, 设施农业焕发着勃勃生机。乌拉特后旗(见下图)国际农业博览园着力推动农、商、旅、体、科、教融合发展, 园内包含大数据中心、智慧农业展厅及全自动化、高标准智能温室等新型结构温室大棚, 同时配套水、肥、温、光智能调配设备。全自动化、高标准智能温室单产、收入高, 节水效果好, 主要提供新鲜蔬菜、瓜果、鲜花等农产品, 市场竞争力强。



(1)分析乌拉特后旗传统农业发展的不利自然条件。(6分)

(2)说明乌拉特后旗设施农业农产品市场竞争力强的原因。(8分)

(3)若在我国西北地区大力推广设施农业, 请说明适合推广的理由。(6分)

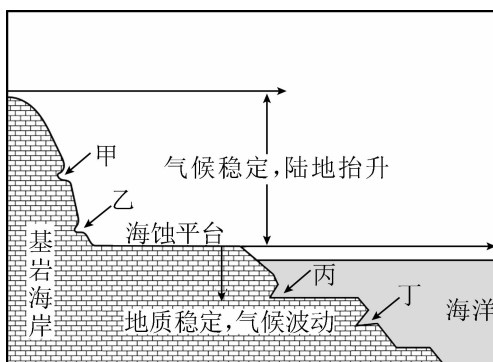
特训16

(用时____分钟, 得分____)

海岸地貌; 板块构造; 矿物与三大类岩石

选择题每个3分, 共21分。四个选项中只有一个选项是正确的。总分21分。

[2025·广西南宁二模] 基岩海岸地区海蚀凹槽的位置有效表示了潮汐高潮位的变化、大尺度气候环境和地质环境的演化。小平岛位于大连市西南部海岸的旅顺南路发端处, 基岩海岸发育。研究表明, 小平岛东海岸存在着具有明显时间序列的海蚀凹槽。下图为小平岛局地海蚀凹槽的分布图, 甲海蚀凹槽形成早于丁, 丁形成时间早于丙。据此完成1~3题。



1. 图中的甲、乙海蚀凹槽 ()

- A. 延伸方向与海岸线垂直
- B. 形成时位置高于高潮位
- C. 拓展方向与海岸线平行
- D. 形成时间晚于海蚀平台

2. 利于任一海蚀凹槽形成的条件有 ()

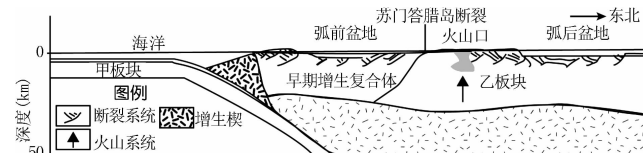
- ① 地壳剧烈抬升或下沉
- ② 潮流潮差变化较小
- ③ 气候条件较为稳定
- ④ 离岸风风力强劲

3. 图中的海蚀凹槽在形成过程中 ()

- A. 乙形成时间早于甲
- B. 与丁相比, 丙形成时气候较为温暖
- C. 甲形成后地壳下沉
- D. 与丁相比, 丙形成时气候波动较大

[2026·江西赣抚吉十二校联考] 增生楔是指板块俯冲带前端因沉积物刮削、堆积形成的大型楔状地质体, 是板块构造活动的重要产物, 也是一种特殊

的地貌类型。研究增生楔的形成过程、结构特征及组成物质对研究造山作用、地震活动及能源资源具有重要意义。下图示意苏门答腊盆地群俯冲构造剖面。据此完成4~5题。



4. 推测图中甲、乙板块分别是 ()

- A. 甲—亚欧板块, 乙—印度洋板块
- B. 甲—印度洋板块, 乙—亚欧板块
- C. 甲—亚欧板块, 乙—太平洋板块
- D. 甲—太平洋板块, 乙—亚欧板块

5. 图中增生楔的前方、后方常伴有的地貌类型分别是 ()

- A. 丘陵、裂谷
- B. 海沟、裂谷
- C. 盆地、岛弧
- D. 岛弧、海沟

[2024·重庆卷] 中国传统复合灰浆由胶凝材料、填料、添加剂组成。其中胶凝材料通常由碳酸盐岩烧制而成。糖水灰浆是我国东南沿海某地传统复合灰浆, 其胶凝材料由蚝壳烧制而成, 其他材料包括河砂、糯米、红糖等。当地居民发现, 该地河砂含盐量较高, 需用淡水清洗后使用, 否则因天气变化, 建筑物易受损。据此完成6~7题。

6. 糖水灰浆的胶凝材料采用蚝壳烧制, 是因为当地较缺乏 ()

- A. 砂页岩
- B. 花岗岩
- C. 玄武岩
- D. 石灰岩

7. 过去, 当地直接使用河砂作为填料修建的建筑物容易受损。建筑物受损多发生在 ()

- A. 2月
- B. 6月
- C. 10月
- D. 12月